



INSTITUTO DE INGENIERÍA
MATEMÁTICA Y COMPUTACIONAL
PONTIFICIA UNIVERSIDAD CATÓLICA DE CHILE



PONTIFICIA
UNIVERSIDAD
CATÓLICA
DE CHILE

IMT3410: Métodos para ecuaciones diferenciales

Clase 14

Manuel A. Sánchez
2024.10.02

Ecuaciones Diferenciales Parciales Elípticas de Segundo Orden

EDP elípticas de segundo orden

Dado $\Omega \subset \mathbb{R}^n$, con frontera $\partial\Omega$ Lipschitz continua, y sea \mathbf{n} el vector normal unitario en $\partial\Omega$ apuntando hacia afuera de Ω , consideramos el operador diferencial de segundo orden L definido por (forma de divergencia):

$$LU = - \sum_{i,j=1}^n \partial_i(a_{ij}(x)\partial_j u) + \sum_{i=1}^n b_i(x)\partial_i u + c(x)u$$

donde $a_{ij}(x)$, $b_i(x)$, $c(x)$ son funciones dadas, y a es simétrico.

Definición

El operador diferencial L se dice elíptico en Ω si existe una constante $\theta > 0$ tal que

$$\sum_{i,j=1}^n a_{ij}(x)\xi_i\xi_j \geq \theta|\xi|^2$$

para todo $\xi \in \mathbb{R}^n$ y casi todo $x \in \Omega$. A θ se le conocerá como constante de elipticidad.

EDP elípticas de segundo orden

Observación:

- Si el operador diferencial L es elíptico, luego la matriz $A = (a_{ij})$ será definida positiva para todo x .
- Lecturas: *Partial Differential Equations*, de L. Evans, en particular la sección 2.2 *Laplace's Equation* y el Capítulo 6. *Second order elliptic equation*.

Propiedades básicas de la solución:

Teorema

Principio del máximo débil Asuma que $u \in C^2(\Omega) \cap C(\overline{\Omega})$ y $c \equiv 0$ en Ω . Luego,

1 Si $Lu \leq 0$ en Ω , entonces $\max_{x \in \overline{\Omega}} u(x) = \max_{x \in \partial\Omega} u(x)$.

2 Si $Lu \geq 0$ en Ω , entonces $\min_{x \in \overline{\Omega}} u(x) = \min_{x \in \partial\Omega} u(x)$.

Observación: Si $a_{ij} \in C^1$, entonces el operador L , que está escrito en forma de divergencia, puede ser reescrito como

$$Lu = - \sum_{i,j=1}^n a_{ij}(x) \partial_{ij}^2 u + \sum_{i=1}^n \hat{b}_i(x) \partial_i u + c(x)u,$$
$$\hat{b}_i = b_i = \sum_{j=1}^n \partial_j a_{ij}$$

Ejemplo

Dado $a_{ij} = \delta_{ij} = \begin{cases} 1 & \text{si } i = j \\ 0 & \text{eoc} \end{cases}$, $b_i = c = 0$, el operador queda $L = -\Delta = -\nabla \cdot (\nabla) = -\nabla^2$.

Esta forma de reescribir L nos permite interpretar como la suma de términos de segundo y primer orden, más un término lineal en u .

Así, los términos de segundo orden ($D^2 = \sum a_{ij} \partial_{ij}^2 u$) podrían representar la *difusión* de u en Ω , con los coeficientes a_{ij} describiendo la naturaleza heterogénea y anisotrópica del medio. Por ejemplo, si $F = -A \nabla u$, entonces F es la densidad de flujo difusivo, y la elipticidad implica $F \cdot \nabla u \leq 0$, lo que nos dice que el flujo va de regiones de mayor a menor concentración.

Para los términos de primer orden ($b \cdot \nabla u = \sum_{i=1}^n b_i \partial_i u$), podemos interpretar que representan el *transporte* en u ; mientras que el término cu se interpreta como un incremento o disminución.

BVP elípticos

Así, nos enfocaremos en la clase de *problemas de valores de frontera elípticos* : Encontrar $u : \overline{\Omega} \rightarrow \mathbb{R}$ tal que

$$\begin{cases} Lu = f & \text{en } \Omega \\ u = 0 & \text{sobre } \partial\Omega \end{cases}$$

donde $\Omega \subset \mathbb{R}^d$ es abierto y acotado, y $f : \Omega \rightarrow \mathbb{R}$ es dada.

A la condición de frontera $u = 0$ en $\partial\Omega$ se le conoce como *condición de Dirichlet*.

Soluciones débiles

Asumimos que $a_{ij}, b_i, c \in L^\infty(\Omega)$, y $f \in L^2(\Omega)$. Así, sea $v \in C_c^\infty(\Omega)$ (funciones infinitamente diferenciales con soporte compacto en Ω), entonces

$$\int_{\Omega} Luv dx = \int_{\Omega} f v dx$$

$$\int_{\Omega} \left(- \sum_{i,j=1}^d \partial_j (a_{ij} \partial_i u) v + \sum_{i=1}^d b_i \partial_i u v + c u v \right) dx = \int_{\Omega} f v dx$$

$$\int_{\Omega} \left(\sum_{i,j=1}^d a_{ij} \partial_i u \partial_j v + \sum_{i=1}^d b_i \partial_i u v + c u v \right) dx = \int_{\Omega} f v dx$$

Soluciones débiles

Además, por propiedades de aproximación (ver 5.2 Evans) lo mismo es válido para el espacio de Sobolev $H_0^1(\Omega)$, definido como

$$\begin{aligned}\overline{C_c^\infty(\Omega)}^{\|\cdot\|_{H^1}} &= H_0^1(\Omega) := \{v \in H^1(\Omega) : v|_{\partial\Omega} \equiv 0\} \\ H^1(\Omega) &:= \{v \in L^2(\Omega) : (\nabla v)_i \in L^2(\Omega)\}\end{aligned}$$

Recordemos la definición de $L^2(\Omega)$:

$$L^2(\Omega) = \left\{ v : \Omega \rightarrow \mathbb{R} : \int_{\Omega} |v|^2 d\mu < \infty \right\}$$

Las normas asociadas a estos espacios son las siguientes:

- $\|v\|_{L^2} = \left(\int_{\Omega} |v|^2 d\mu \right)^{1/2}.$
- $\|v\|_{H^1} = \left(\int_{\Omega} |v|^2 d\mu + \int_{\Omega} |\nabla v|^2 d\mu \right)^{1/2}$

Solución débil

Definición

La forma bilineal $B : H_0^1(\Omega) \times H_0^1(\Omega) \rightarrow \mathbb{R}$ asociada al operador L es

$$B(u, v) := \int_{\Omega} \left(\sum_{i,j=1}^d a_{ij} \partial_i u \partial_j v + \sum_{i=1}^d b_i \partial_i u v + cu \right) dx$$

para toda $u, v \in H_0^1(\Omega)$.

Decimos que $u \in H_0^1(\Omega)$ es una **solución débil** del BVP si

$$B(u, v) = \langle f, v \rangle_{L^2} \quad \forall v \in H_0^1(\Omega)$$

donde el producto interno en $L^2(\Omega)$ esta dado por la expresión

$$\langle u, v \rangle_{L^2} = \int_{\Omega} u v d\mu$$

Ejemplos condiciones de frontera

Veamos algunos ejemplos de condiciones de frontera típicas:

▣ Tipo Dirichlet no homogéneas:

$$\begin{cases} Lu = f & \text{en } \Omega \\ u = g & \text{sobre } \partial\Omega \end{cases}$$

con $g = \text{Tr}(w)$, para $w \in H^1(\Omega)$. Esta se puede reescribir como

$$\begin{cases} L\tilde{u} = \tilde{f} & \text{en } \Omega \\ u = 0 & \text{sobre } \partial\Omega \end{cases}$$

donde $\tilde{u} = u - w$ y $\tilde{f} = f - Lw \in H^{-1}(\Omega)$.

Ejemplos condiciones de frontera

□ Tipo Neumann (homogénea)

$$\begin{cases} Lu = f & \text{en } \Omega \\ \frac{\partial u}{\partial n} = 0 & \text{sobre } \partial\Omega \end{cases}$$

□ Tipo Robin (homogénea)

$$\begin{cases} Lu = f & \text{en } \Omega \\ u + \frac{\partial u}{\partial n} = 0 & \text{sobre } \partial\Omega \end{cases}$$

Ejemplos condiciones de frontera

- Tipo mixtas Dirichlet-Neumann (homogénea)

$$\begin{cases} Lu = f & \text{en } \Omega \\ u = 0 & \text{sobre } \Gamma_1 \\ \frac{\partial u}{\partial n} = 0 & \text{sobre } \Gamma_2 \end{cases}$$

en donde $\partial\Omega = \Gamma_1 \cup \Gamma_2$, y $\Gamma_1 \cap \Gamma_2 = \emptyset$

Existencia y Unicidad de solución

Existencia y unicidad

Teorema (Lax-Milgram)

Suponga que H es un espacio de Hilbert, y que $B : H \times H \rightarrow \mathbb{R}$ es una forma bilineal tal que

1 $\exists \alpha > 0 : \quad |B(u, v)| \leq \alpha \|u\|_H \|v\|_H, \quad \forall u, v \in H.$

2 $\exists \beta > 0 : \quad \beta \|u\|_H^2 \leq B(u, u), \quad \forall u \in H.$

Además, sea $f : H \rightarrow \mathbb{R}$ un funcional lineal acotado. Entonces, existe un único elemento $u \in H$ tal que

$$B(u, v) = \langle f, v \rangle \quad \forall v \in H$$

Demostración: Revisar Evans, 6.2.

Aplicación T. L-M

Verifiquemos que la forma bilineal B asociada a L definida al principio de la clase satisface las hipótesis del teorema de Lax Milgram:

1

$$\begin{aligned}|B(u, v)| &\leq \sum_{i,j=1}^d \|a_{ij}\|_{L^\infty} \int_{\Omega} |\nabla u| \cdot |\nabla v| dx + \sum_{i=1}^d \|b_i\|_{L^\infty} \int_{\Omega} |\nabla u| \cdot |v| dx + \|c\|_{L^\infty} \int_{\Omega} uv dx \\ &\leq \alpha_1 \|\nabla u\|_{L^2} \|\nabla v\|_{L^2} + \alpha_2 \|\nabla u\|_{L^2} \|v\|_{L^2} + \alpha_3 \|u\|_{L^2} \|v\|_{L^2} \\ &\leq (\alpha_1 + \alpha_2 + \alpha_3) \|u\|_{H^1} \|v\|_{H^1}\end{aligned}$$

2 Esta condición la sabemos de la elipticidad (caso $b_i = c = 0$):

$$\theta \int_{\Omega} |\nabla u|^2 dx \leq \int_{\Omega} \sum_{i,j=1}^d a_{ij} \partial_i u \partial_j u dx = B(u, u) - \int_{\Omega} \left(\sum_{i=1}^d b_i \partial_i u u + cu^2 \right) dx$$

Aplicación T. L-M

Como además $\int_{\Omega} |\nabla u| |u| dx \leq \varepsilon \|\nabla u\|_{L^2}^2 + \frac{1}{4\varepsilon} \|u\|_{L^2}^2$, para $\varepsilon > 0$, entonces

$$\begin{aligned} \theta \int_{\Omega} |\nabla u|^2 dx &\leq B(u, u) + \sum_{i=1}^d \|b_i\|_{L^\infty} \int_{\Omega} |\nabla u| |u| dx + \|c\|_{L^\infty} \int_{\Omega} |u|^2 dx \\ &= \leq B(u, u) + \sum_{i=1}^d \|b_i\|_{L^\infty} \left(\varepsilon \|\nabla u\|_{L^2}^2 + \frac{1}{4\varepsilon} \|u\|_{L^2}^2 \right) + \|c\|_{L^\infty} \|u\|_{L^2}^2 \end{aligned}$$

por lo que concluimos que $\frac{\theta}{2} \|\nabla u\|_{L^2}^2 \leq B(u, u) + C \|u\|_{L^2}^2$. Finalmente, usando la desigualdad de Poincaré (ver Evans, 5.6), tenemos que

$$\beta \|u\|_{H_0^1}^2 \leq B(u, u) + \gamma \|u\|_{L^2}^2$$

para $\beta > 0$ y $\gamma > 0$.

De esta forma, el problema tiene solución única.

La ecuación de Poisson

La ecuación de Poisson - aplicaciones

- 1 Gravitación lejos de la masa.

$$v = \frac{mMG}{r}; \quad \mathbf{F} = -\nabla v \quad \Delta v = 0$$

- 2 Potencial electroestático

$$\nabla \times \mathbf{E} = 0; \nabla \cdot \mathbf{E} = 4\pi f \quad \longrightarrow \quad \Delta \phi = \nabla \cdot (\nabla \phi) = -\nabla \cdot \mathbf{E} = -4\pi g$$

- 3 Conducción del calor. T denota la temperatura.

$$\frac{\partial T}{\partial t} = \alpha^2 \cdot \nabla^2 T$$

El estado estacionario viene dado por la ecuación $\nabla^2 T$.

- 4 Movimiento Browniano.

$$\begin{cases} \Delta u = 0 \text{ en } \Omega \\ u = 1 \text{ sobre } \Gamma \\ u = 0 \text{ sobre } \partial\Omega \end{cases}$$

Método de diferencias finitas de 5 puntos

En este caso, la ecuación es

$$\begin{cases} \Delta u = f(x), x \in \Omega \\ u = g \in \partial\Omega \end{cases}$$

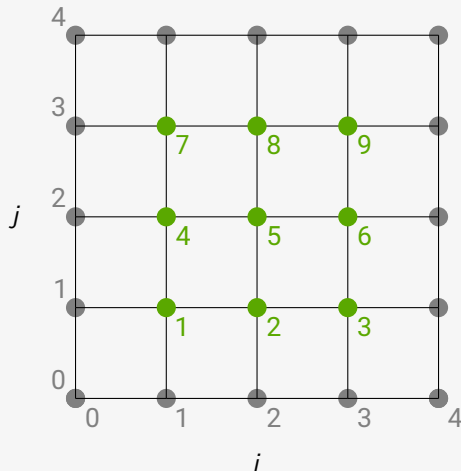
Luego, usando diferencias finitas vemos que

$$\frac{u_{i-1j} + u_{i+1j} - 4u_{ij} + u_{ij-1} + u_{ij+1}}{h^2} = f_{ij} \quad 1 \leq i, j \leq n-1$$

con $u_{ij} = g_{ij}$ si $(i = 0 \vee i = n) \vee (j = 0 \vee j = n)$.

Método de diferencias finitas de 5 puntos

Entonces, gráficamente tenemos que el esquema es



de donde obtenemos la siguiente relación

$$(1, 1) \longrightarrow 1$$

$$(2, 1) \longrightarrow 2$$

$$(3, 1) \longrightarrow 3$$

$$(1, 2) \longrightarrow 4$$

$$(2, 2) \longrightarrow 5$$

$$(3, 2) \longrightarrow 6$$

$$(1, 3) \longrightarrow 7$$

$$(2, 3) \longrightarrow 8$$

$$(3, 3) \longrightarrow 9$$

Método de diferencias finitas de 5 puntos

Para este caso, la matriz A_{2D} es

$$A_{2D} = \frac{1}{h^2} \begin{bmatrix} -4 & 1 & 0 & 1 & 0 & 0 & 0 & 0 & 0 \\ 1 & -4 & 1 & 0 & 1 & 0 & 0 & 0 & 0 \\ 0 & 1 & -4 & 0 & 0 & 1 & 0 & 0 & 0 \\ 1 & 0 & 0 & -4 & 1 & 0 & 1 & 0 & 0 \\ 0 & 1 & 0 & 1 & -4 & 1 & 0 & 1 & 0 \\ 0 & 0 & 1 & 0 & 1 & -4 & 0 & 0 & 1 \\ 0 & 0 & 0 & 1 & 0 & 0 & -4 & 1 & 0 \\ 0 & 0 & 0 & 0 & 1 & 0 & 1 & -4 & 1 \\ 0 & 0 & 0 & 0 & 0 & 1 & 0 & 1 & -4 \end{bmatrix}$$

De esta forma, vemos que la matriz puede ser vista en 9 bloques, esto es

$$A_{2D} = \frac{1}{h^2} \begin{bmatrix} T & I & 0 \\ I & T & I \\ 0 & I & T \end{bmatrix}; \quad T = \begin{bmatrix} -4 & 1 & 0 \\ 1 & -4 & 1 \\ 0 & 1 & -4 \end{bmatrix}; \quad A_{1D} = \begin{bmatrix} -2 & 1 & 0 \\ 1 & -2 & 1 \\ 0 & 1 & -2 \end{bmatrix}$$

Método de diferencias finitas de 5 puntos

Más aún,

$$\begin{aligned} A_{2D} &= \frac{1}{h^2} \left(\begin{bmatrix} A_{1D} & 0 & 0 \\ 0 & A_{1D} & 0 \\ 0 & 0 & A_{1D} \end{bmatrix} + \begin{bmatrix} -2I & I & 0 \\ I & -2I & I \\ 0 & I & -2I \end{bmatrix} \right) \\ A_{2D} &= \frac{1}{h^2} \left(\begin{bmatrix} A_{1D} & 0 & 0 \\ 0 & A_{1D} & 0 \\ 0 & 0 & A_{1D} \end{bmatrix} + \begin{bmatrix} -2I & I & 0 \\ I & -2I & I \\ 0 & I & -2I \end{bmatrix} \right) \\ &= \frac{1}{h^2} (I \otimes A_{1D} + A_{1D} \otimes I). \end{aligned}$$

Donde \otimes denota el producto Kronocker

$$\begin{aligned} \otimes : \mathbb{R}^{m_1 \times n_1} \times \mathbb{R}^{m_2 \times n_2} &\longrightarrow \mathbb{R}^{(m_1 m_2) \times (n_1 n_2)} \\ B, C &\longrightarrow B \otimes C \end{aligned}$$

$B \otimes C$ es una matriz por bloques de $m_1 \times n_1$ bloques con cada bloque $b_{ij}C \in \mathbb{R}^{m_2 \times n_2}$.

Método de diferencias finitas de 5 puntos

Ejercicios: Muestre que para el problema de Poisson en \mathbb{R}^3

$$-\Delta u(x) = f(x), \quad x = (x_1, x_2, x_3) \in (a, b) \subset \mathbb{R}^3,$$

el método resultante de aplicar el stencil de 3 puntos en cada dirección tiene como matriz

$$A_{3D} = A_{1D} \otimes I \otimes I + I \otimes A_{1D} \otimes I + I \otimes I \otimes A_{1D}.$$

Error de truncación

El **error de truncación local** viene dado por

$$\begin{aligned} T_{ij} &= -\frac{1}{h^2} (u(x_{i-1}, y_j) + u(x_{i+1}, y_j) - 4u(x_i, y_j) + u(x_i, y_{j-1}) + u(x_i, y_{j+1})) - f(x_i, y_j) \\ &= -\frac{1}{12} h^2 \left(\frac{\partial^4 u}{\partial x^4} + \frac{\partial^4 u}{\partial y^4} \right) + o(h^4) \end{aligned}$$

El **error de truncación global** viene dado por, para $1 \leq i, j \leq n-1$

$$e_{ij} = u_{ij} - u(x_i, y_j) \Rightarrow A^h e^h = -T^h.$$

Estabilidad.

En este caso los valores propios son

$$\lambda_{jk} = \frac{2}{h^2} ((\cos(j\pi h) - 1) + (\cos(k\pi h) - 1)),$$

por ende los vectores propios son

$$u_{ij}^{jk} = \sin(j\pi ih) \sin(k\pi lh).$$

Por lo tanto, el menor valor propio en modulo es

$$\lambda_{11} = -2\pi^2 + o(h^2).$$

Así,

$$\rho \left((A^h)^{-1} \right) = \frac{1}{\lambda_{11}} \approx \frac{1}{2\pi^2}$$

y el método es estable. Calculemos también el número de condición de A^h

$$k_2(A) = \|A\|_2 \|A^{-1}\|_2 = \frac{|\lambda_{n-1,n-1}|}{|\lambda_{1,1}|} \approx \frac{8/h^2}{2\pi^2} = \frac{4}{\pi^2 h^2}$$

donde vemos que la matriz se vuelve mal condicionada cuando $h \rightarrow 0$.



INSTITUTO DE INGENIERÍA
MATEMÁTICA Y COMPUTACIONAL
PONTIFICIA UNIVERSIDAD CATÓLICA DE CHILE